



دانشگاه شهروردی

نشریه پژوهش‌های حفاظت آب و خاک
جلد بیستم، شماره پنجم، ۱۳۹۲
<http://jwsc.gau.ac.ir>

تعیین شاخص مناسب فرسایندگی باران با استفاده از کرت‌های فرسایش خاک در استان سمنان

*الله موسوی کیاسری^۱، داود نیکنامی^۲، محمدحسین مهدیان^۳ و ابراهیم پذیرا^۴

^۱دانش آموخته دکتری گروه خاکشناسی، دانشگاه آزاد اسلامی، واحد علوم و تحقیقات، تهران،

^۲دانشیار مرکز تحقیقات کم آبی و خشکسالی در کشاورزی و منابع طبیعی، تهران، ایران،

^۳استاد گروه خاکشناسی، دانشگاه آزاد اسلامی، واحد علوم و تحقیقات، تهران،

تاریخ دریافت: ۹۱/۱۰/۱۹؛ تاریخ پذیرش: ۹۱/۸/۱۰

چکیده

شاخص فرسایندگی باران بهمنظور برآورد صحیح میزان تلفات خاک در اثر فرسایش آبی، یکی از پارامترهای ضروری است. بنابراین، شاخص فرسایندگی باران که در هر منطقه استفاده می‌شود باید دقیق باشد. هدف این پژوهش، بررسی روابط رگرسیونی بین شاخص‌های فرسایندگی باران و تلفات خاک از کرت‌های آزمایشی پس از وقایع منفرد بارش، بهمنظور تعیین شاخص مناسب مبتنی بر شدت بارندگی در استان سمنان است. به این منظور، وقایع بارندگی سال‌های ۱۳۸۷-۸۹ در ایستگاه تحقیقاتی جاشهلوبار استان سمنان، با استفاده از باران‌نگار ثبت گردید. هم‌چنین، مقادیر تلفات خاک پس از هر واقعه بارندگی، از کرت‌هایی با ابعاد استاندارد، در دو طبقه شیب ۳ و ۱۵ درصد با ۳ تکرار جمع‌آوری و اندازه‌گیری شد. سپس مقادیر بارندگی، حداقل شدت بارش در پایه‌های زمانی مختلف و انحراف کل باران، به همراه سایر پارامترهای بارندگی، برای محاسبه شاخص‌های مختلف محاسبه و روابط بین این شاخص‌ها و مقادیر رسوب متناظر آنها بررسی شد. با تجزیه و تحلیل آماری رابطه‌های نام برد، شاخص $(I_{0.0} \times \sqrt{P})^r = 0.651$ و معنی‌داری در سطح ۱ درصد، به عنوان مناسب‌ترین شاخص تشخیص داده شد. در ضمن، میانگین بلندمدت شاخص انتخابی و ۷ شاخص مبتنی بر مقدار بارندگی، در ۱۰ ایستگاه مجهز به باران‌نگار در سطح استان سمنان، طی یک دوره آماری ۲۵ ساله، تعیین شد. برای تخمین شاخص انتخابی، رابطه‌های رگرسیونی بین شاخص انتخابی و شاخص‌های مبتنی بر مقدار

*مسئول مکاتبه: emk_moussavi@yahoo.com

بارندگی بررسی شد. میانگین بارش سالانه، انحراف معیار بارش سالانه و حداقل بارش ماهانه از جمله شاخص‌هایی بودند که همبستگی خوبی (به ترتیب 0.83 ، 0.82 و 0.81) را در سطح 1 درصد، با شاخص انتخابی نشان دادند.

واژه‌های کلیدی: فرسایش خاک، شاخص فرسایندگی باران، کرت فرسایش

مقدمه

فرسایش خاک یک مشکل مهم اجتماعی و اقتصادی و یک عامل ضروری در ارزیابی سلامتی و کارکرد اکوسیستم است (چملووا و ساراپاتک، ۲۰۰۲). برای اتخاذ تصمیم مناسب بهمنظور کنترل فرسایش و کاهش اثرات آن، شناخت عوامل مؤثر و برآورد صحیح از میزان تلفات خاک بسیار مهم است. یکی از مهم‌ترین عوامل مؤثر بر فرسایش خاک، باران است.

در بررسی‌های مربوط به فرسایش و رسوب، بهمنظور کمی‌کردن عامل فرسایندگی باران، شاخص‌های مختلفی بر مبنای خصوصیات مختلف باران مانند شدت و انرژی مدنظر قرار می‌گیرد.

شاخص‌هایی مانند EI_3 (سیلز و همکاران، ۲۰۰۲)؛ $\frac{P}{\sqrt{t}}$ (اونچو، ۱۹۹۴)؛ $KE > 1$ (نانکو و همکاران، ۲۰۰۴) و AI_m (لال، ۱۹۷۶)، از معروف‌ترین شاخص‌های فرسایندگی هستند. نکته مهم این است که این شاخص‌ها از نظر منطقه جغرافیایی، مقیاس، شرایط محلی و نوع اندازه‌گیری متفاوت هستند. بیشترین تأثیری که متفاوت بودن شرایط اقلیمی بر فرسایش آبی دارد، تأثیری است که این عامل بر فرسایندگی باران می‌گذارد (زانگ و همکاران، ۲۰۱۰). بنابراین، قبل از اجرای طرح‌های حفاظت خاک و کنترل فرسایش، لازم است تا شاخص فرسایندگی مناسب منطقه تعیین شود تا برآورد صحیحی از میزان فرسایش خاک داشت. از سویی دیگر، یکی از محدودیت‌های شاخص‌های مبتنی بر شدت بارندگی این است که به آمار شدت بارندگی (با فواصل زمانی کوتاه‌مدت) ایستگاه‌های هواشناسی مجهر به باران‌نگار نیاز دارند. چنین آماری در بیشتر نقاط دنیا، بهخصوص برای دوره‌های زمانی طولانی‌مدت وجود ندارد و فرآیند محاسبه آن‌ها نیز وقت‌گیر و مشکل است (سیلوا، ۲۰۰۴).

با بررسی منابع موجود، بهنظر می‌رسد که پژوهش‌های انجام شده در کشور در ارتباط با تعیین شاخص مناسب فرسایندگی باران کافی نباشد. در پژوهشی که به بررسی ارتباط بین پارامترهای بارندگی و فرسایندگی باران در استان خوزستان انجام شد، نتایج آنالیز رگرسیونی بیانگر ارتباط بالای

فرسایندگی با مقدار و حداکثر شدت ۳۰ دقیقه‌ای باران بود (مرادی و همکاران، ۲۰۰۶). پژوهش دیگری در استان کرمانشاه، توسط همتی (۲۰۰۷)، انجام گرفت که براساس اطلاعات باران‌نگار و کرت‌های جمع‌آوری رسمی، شاخص EI_6 به عنوان مناسب‌ترین شاخص معرفی شد.

قربانپور و همکاران (۲۰۰۵) براساس رابطه توانی به دست آمده بین شاخص EI_3 و میانگین بارندگی سالیانه، شاخص فرسایندگی باران را برای منطقه بابلسر برآورد نمودند. حکیم‌خانی و همکاران (۲۰۰۸)، با توجه به محدودیت ایستگاه‌های مجهر باران‌نگار، برای تهیه نقشه فرسایندگی باران برای حوزه دریاچه نمک، از آمار ۲۰ ساله ایستگاه برای محاسبه شاخص فورنیه استفاده کردند. شریفان (۲۰۰۸)، با استفاده از آمار ۱۰ ساله ایستگاه سینوپتیک گرگان، شاخص EI_3 را محاسبه نمود و سپس رابطه بین این شاخص و پارامترهایی مانند میزان بارندگی، حداکثر باران روزانه، باران سالانه و... را بررسی نمود. علی‌پور و همکاران (۲۰۱۰)، نیز با بررسی شاخص فرسایندگی باران در حوزه دریاچه نمک، ابتدا شاخص EI_3 را به عنوان مناسب‌ترین شاخص انتخاب نمود. سپس، رابطه‌های رگرسیونی بین این شاخص و پارامترهای سهل‌الوصول بارندگی را بررسی نموده و بهترین رابطه را برای برآورد شاخص EI_4 ، در ایستگاه‌های بدون باران‌نگار در حوزه بالا تعیین نمود.

در نقاط مختلف دنیا، بررسی‌هایی با هدف تعیین شاخص فرسایندگی مناسب باران که مختص شرایط اقلیمی و خصوصیات باران‌های آن منطقه باشد، انجام شده که به نمونه‌هایی از آن‌ها اشاره می‌شود. بهمنظور اصلاح شاخص فرسایندگی باران تحت اقلیم مدیترانه‌ای در ایتالیا، یوسون و راموس (۲۰۰۱)، حاصل ضرب انرژی جنبشی کل در حداکثر شدت ۵ دقیقه‌ای باران (EI_6) را به عنوان مناسب‌ترین شاخص، تشخیص دادند. در پژوهشی که بهمنظور بررسی فرسایش پاشمانی در ناحیه‌ای جنگلی در آب‌گیر رودخانه تکلا در مالزی انجام شد، شاخص‌هایی مانند متوسط شدت بارندگی، EI_6 و I_6 ، بالاترین ضرایب همبستگی را با فرسایش پاشمانی داشت (شاریفاه ماستورا و همکاران، ۲۰۰۳). در منطقه اوکیناوا در ژاپن، فاکتورهایی مانند PI_6 ، I_6 و I_3 در مقایسه با I_{10} و EI_3 ، همبستگی بهتری را با تلفات خاک نشان داد (یوشی‌هیرو، ۲۰۰۳). بهمنظور بررسی اثرات خصوصیات مختلف باران بر رواناب و فرسایش تحت یک اقلیم مدیترانه‌ای، ابوحmad و همکاران (۲۰۰۵)، پژوهشی انجام دادند. نامبردگان با پایش ۲ ساله داده‌های بارش و رسمی دریافتند که انرژی جنبشی باران در مقایسه با EI_3 ، I_3 و مدت زمان رگبار، همبستگی بهتری را با تلفات خاک نشان می‌دهد. در بررسی فرسایش خاک ناحیه‌ای کوهستانی در جنوب‌شرقی یونان در چین، زیشنگ و همکاران (۲۰۱۰)،

ضرایب همبستگی بین میزان تلفات خاک از اراضی شیبدار را با برخی پارامترهای بارندگی بررسی نمودند. آن‌ها دریافتند که میزان تلفات خاک بالاترین همبستگی را با I_6 نشان می‌دهد.

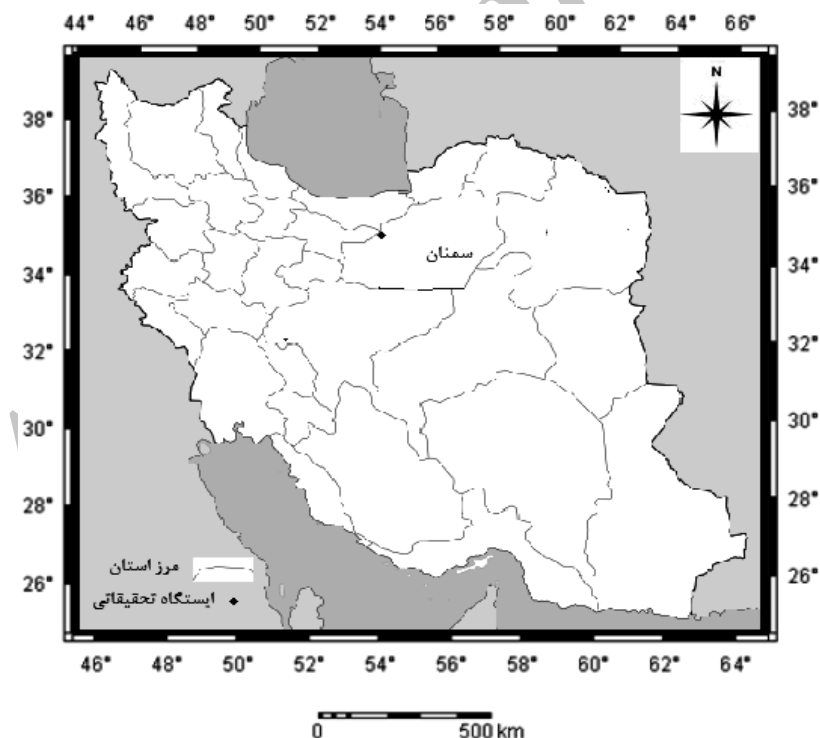
در پژوهشی برای ناحیه‌ای نیمه‌مذیرانه‌ای در جنوب‌غربی اسلوونی، رابطه‌هایی از نوع توانی بین شاخص فرسایندگی ماهانه و مجموع مرباعات بارش روزانه، برقرار شد (پتکووسک و میکوس، ۲۰۰۴). در پژوهش دیگری در منطقه مذیرانه‌ای ایتالیا، دیودیتو (۲۰۰۵)، با استفاده از داده‌های ۵ ایستگاه، مقادیر شاخص فرسایندگی سالانه باران را برآورد نموده و رابطه بین این ضریب با پارامترهای مختلف بارندگی مانند باران سالانه، حداکثر باران روزانه و حداکثر باران یک‌ساعتی را مورد بررسی قرار داده و معادله‌هایی را به دست آورد. در نیجریه، سالاکو (۲۰۰۷)، میانگین درازمدت سالانه دو شاخص EI_6 و EI_2 را در ۱۷ ایستگاه محاسبه کرده و معادله‌هایی از نوع توانی بین شاخص‌های نام برد و مقادیر روزانه بارش به دست آورد. در پژوهش نام برد، با توجه به حاکم بودن اقلیم گرم‌سیری، شاخص EI_6 برای محاسبه مقادیر ماهانه و سالانه تلفات خاک مناسب تشخیص داده شد. در منطقه‌ای در پنین سولار مالزی، شامشاد و همکاران (۲۰۰۸)، برای تخمین مقادیر ماهانه شاخص EI_3 با استفاده از داده‌های سهل‌الوصول، از سه روش استفاده نمودند که یکی از آن‌ها استفاده از شاخص فورنیه بود.

با توجه به مطالب مطرح شده در بالا، تعیین شاخص مناسب فرسایندگی باران که متناسب با شرایط اقلیمی هر منطقه باشد، برای پیش‌بینی صحیح‌تر مقدار فرسایش خاک امری ضروری است. از سویی دیگر، پیش‌بینی شاخص فرسایندگی مبتنی بر شدت، با تکیه بر داده‌های سهل‌الوصول بارندگی در مناطق بدون باران‌نگار ثبات، باعث صرف وقت و هزینه کمتری خواهد شد. بنابراین، هدف این پژوهش، تعیین شاخص مناسب فرسایندگی بارندگی در استان سمنان و پیش‌بینی شاخص انتخابی در ایستگاه‌های باران‌سننجی است.

مواد و روش‌ها

منطقه مورد مطالعه: این پژوهش در استان سمنان انجام شد. استان سمنان با مساحتی نزدیک به ۹۶۰۰۰ کیلومترمربع در حاشیه شمالی حوضه آبریز کویر مرکزی ایران و در موقعیت جغرافیایی بین ۴۸ درجه و ۵۱ دقیقه تا ۳ درجه و ۵۷ دقیقه طول شرقی و ۱۴ درجه و ۳۴ دقیقه تا ۱۹ درجه و ۳۷ دقیقه عرض شمالی واقع شده است. بخش کوچکی از نوار شمالی استان در حوضه آبخیز دریایی

خرز و بقیه در کویر مرکزی ایران واقع شده است. ۳۰ درصد از وسعت استان را ارتفاعات، ۲۵ درصد دشت و ۴۵ درصد را مناطق کویری و بیابانی تشکیل می‌دهد. کوه شاهوار با ارتفاع بیش از ۳۹۰۰ متر و دشت کویر با ارتفاع کمتر از ۷۰۰ متر به ترتیب بلندترین و پستترین نقاط استان محسوب می‌گردند. به طور کلی، استان دارای اقلیم نیمه‌بیابانی است و میانگین بارندگی سالیانه آن، ۱۴۵ میلی‌متر است. ایستگاه تحقیقاتی مدیریت دام و مرتع جاشلوبار با دارا بودن باران‌نگار ثبات و کرت‌های جمع‌آوری رسوب، به عنوان مکان پژوهش انتخاب شد (شکل ۱). این ایستگاه با مساحتی حدود ۲۴۸۵ هکتار در ۵۵ کیلومتری شمال‌غرب سمنان واقع گردیده است. ایستگاه تحقیقاتی جاشلوبار بین عرض‌های جغرافیایی ۳۵ درجه و ۴۵ دقیقه تا ۳۵ درجه و ۴۸ دقیقه و طول‌های جغرافیایی ۵۳ درجه و ۷ دقیقه تا ۵۳ درجه و ۱۲ دقیقه واقع شده است. متوسط وزنی ارتفاع در حوزه نام برده، ۲۷۲۷ متر از سطح دریا می‌باشد. شیب متوسط حوزه نیز ۳۱/۶۷ درصد است.



شکل ۱- موقعیت ایستگاه تحقیقاتی جاشلوبار در استان سمنان.

آمار و اطلاعات: ۶ کرت جمع‌آوری رسوب، در قالب دو شیب (۳ و ۱۵ درصد) و ۳ تکرار، با ابعاد استاندارد (۲۲/۱ در ۱/۸ متر) و به صورت بلوک‌های کامل تصادفی در محل انجام طرح (ایستگاه جاشلوبار) مستقر بود. کرت‌ها دارای پوشش گیاهی یکسان مرتّعی و از نوع بالشتکی بودند. به منظور جمع‌آوری رواناب و رسوب به دست آمده از وقایع بارندگی، مخازنی در انتهای کرت‌ها نصب شد. طی ۲ سال متمادی، سال‌های ۱۳۷۸-۸۸، ۱۸ واقعه بارندگی منجر به رواناب و رسوب اتفاق افتاد که پس از هر واقعه، رواناب و رسوب مخازن جمع‌آوری و اندازه‌گیری شد. به منظور حذف اثر رطوبت قبلی خاک، بارش‌هایی که در روزهای متولی و یا با فاصله کمتر از ۷ روز حادث شده بود، حذف شد. به این ترتیب، در مجموع، ۱۱ واقعه منفرد بارندگی با استفاده از باران‌نگار ثبات به همراه آمار و اطلاعات رواناب و رسوب کرت‌ها جمع‌آوری گردید.

تعیین شاخص مناسب فرسایندگی باران در ایستگاه جاشلوبار: به منظور دست‌یابی به مقادیری از فرسایندگی باران که نماینده استان باشد، این پژوهش در ۲ مرحله برنامه‌ریزی شده است. در مرحله اول، در ایستگاه جاشلوبار که مجهز به باران‌نگار ثبات و کرت‌های جمع‌آوری رسوب بود، شاخص مناسب فرسایندگی باران (متینی بر شدت بارندگی) تعیین شد. در مرحله بعدی، در ایستگاه‌های دارای باران‌نگار ثبات موجود در سطح استان، که شدت بارندگی قابل اندازه‌گیری بود، رابطه بین شاخص انتخاب شده در مرحله اول و شاخص‌های سهل‌الوصول (متینی بر مقدار بارندگی)، بررسی شد.

مقادیر بارش‌ها در فواصل زمانی ۱۰ دقیقه با استفاده از باران‌نگار ثبات مستقر در محل انجام طرح، ثبت شد. به این ترتیب، با انجام عملیات درون‌یابی، مقدار بارش به‌ازای هر دقیقه از زمان به دست آمد. سپس حداقل شدت بارش در پایه‌های زمانی ۱۰، ۲۰، ۳۰، ۶۰ و ۱۲۰ دقیقه، به همراه سایر پارامترهای تشکیل‌دهنده شاخص‌ها برای هر واقعه منفرد بارندگی، محاسبه و یا استخراج شد. در آخر، شاخص‌های مختلف فرسایندگی باران، برای هر واقعه منفرد بارش محاسبه شد (جدول ۱). در میان شاخص‌های محاسبه شده، از ۱۳ رابطه مختلف انرژی جنبشی استفاده شد که شامل ویشمایر و اسمیت؛ مارشال و پالمر؛ زانچی و توری؛ اوناگا، شیرای و یوشیناگا؛ کوتینهو و توماس؛ کرو و همکاران؛ کینل؛ برند (سیلز و همکاران، ۲۰۰۲)، جایاوردن و رزاور (۲۰۰۵؛ نیسن ۲۰۰۰)؛ وان‌دیجک و همکاران (۲۰۰۲)؛ علیزاده (۲۰۰۲) و براون و فوستر (سیلز و همکاران، ۲۰۰۲) است. برای شاخص‌هایی که انرژی جنبشی یکی از پارامترهای تشکیل‌دهنده آن‌ها بود، محاسبه انرژی جنبشی کل با استفاده از رابطه ۱ که توسط ویشمایر و اسمیت ارایه شده (سیلز و همکاران، ۲۰۰۲)، صورت گرفت.

$$E = 11/87 + 8/73 \log_{10} I \quad (1)$$

که در آن، E : انرژی جنبشی رگبار (ژول بر مترمربع بر میلی متر) و I : شدت بارندگی (میلی متر بر ساعت) می باشد.

برای محاسبه قطر میانه ذرات بارش در شاخص هایی که این پارامتر یکی از اجزای تشکیل دهنده آنها بود نیز از رابطه ۲ پیشنهادی لاوز و پارسون (سیلز و همکاران، ۲۰۰۲)، استفاده شد.

$$D_e = 1/238 \times I^{1/182} \quad (2)$$

که در آن، D_e : قطر میانه ذرات بارش (میلی متر) و I : شدت بارندگی (میلی متر بر ساعت) می باشد. در نهایت، شاخص های ارایه شده در جدول ۱، برای هر واقعه منفرد بارندگی به عنوان متغیر مستقل و میزان رسوب بعد از هر واقعه بارندگی به عنوان متغیر وابسته در نظر گرفته شد. رابطه های همبستگی بین شاخص های نام بده و مقادیر رسوب خروجی از کرت های آزمایشی مورد تجزیه و تحلیل قرار گرفت و ضرایب همبستگی و سطح معنی داری آنها به منظور تعیین مناسب ترین شاخص بررسی شد. رابطه های بین شاخص انتخابی (مبتنی بر شدت بارندگی) و شاخص های سهل الوصول (مبتنی بر مقدار بارندگی): برای بررسی رابطه بین شاخص انتخابی و شاخص های سهل الوصول از آمار بلندمدت (آمار ۲۵ ساله)، ۱۰ ایستگاه مجهز به باران نگار در سطح استان، که دارای اطلاعات مقدار و شدت بود، استفاده شد. مقادیر روزانه شاخص انتخابی برای دوره آماری ذکر شده با استفاده از داده های شدت بارندگی ثبت شده به ازای هر دقیقه از زمان بارش، محاسبه شد. برای محاسبه میانگین شاخص فرسایندگی سالیانه از رابطه براون و فوستر (مارتینز و همکاران، ۲۰۰۹)، استفاده شد.

$$R = \frac{1}{n} \sum_{j=1}^n \sum_{k=1}^{mj} (r)_k \quad (3)$$

که در آن: n : تعداد سال های ثبت شده، mj : تعداد رگبار های فرساینده به وقوع پیوسته برای هر سال معین و r : شاخص فرسایندگی برای واقعه منفرد r است. بنابراین، فاکتور R ، مقدار میانگین R تجمعی سالانه در طول دوره آماری معین است. به این ترتیب، میانگین بلندمدت سالانه شاخص انتخابی و ۷ شاخص سهل الوصول در تمامی ایستگاه ها محاسبه و سپس رابطه بین آنها مورد تجزیه و تحلیل قرار گرفت. در نهایت مناسب ترین رابطه با دارا بودن بالاترین ضریب همبستگی معنی دار برای برآورد مقدار شاخص انتخابی (مبتنی بر شدت بارندگی) در ایستگاه های باران سنجی موجود در سطح استان که بدون آمار شدت هستند مورد استفاده قرار گرفت.

جدول ۱- شاخص‌های مبتنی بر شدت بارندگی محاسبه شده در محل انجام طرح (ایستگاه جاشلوبار).

ناماد	تعریف شاخص
I_m	حداکثر شدت بارش در پایه‌های زمانی ۱۰، ۱۵، ۳۰، ۶۰ و ۱۲۰ دقیقه (میلی‌متر بر ساعت)
KE	انرژی جنبشی بارش (ژول بر مترمربع بر میلی‌متر)
$\sum_{i=1}^n KE^*$	مجموع مربعات حاصل ضرب مقادیر جزئی انرژی جنبشی در مقادیر بارش‌های مربوطه (ژول بر مترمربع) حاصل ضرب انرژی جنبشی در حداکثر شدت بارش در پایه‌های زمانی مختلف (ژول میلی‌متر بر مترمربع بر ساعت)
EI_m	مقدار بارش به‌ازای حداکثر شدت‌های ۱۰، ۲۰ و ۳۰ دقیقه‌ای (میلی‌متر)
P_m	شاخص‌های ترکیبی از انرژی جنبشی کل باران (ژول بر مترمربع) و d (قطر میانه قطرات بارش بر حسب میلی‌متر)
$KE \times d$ ، $KE \times d^*$ ، $KE \times \sqrt{d}$	شاخص‌های ترکیبی از P (مقدار کل بارش) و حداکثر شدت بارش ۳۰ و ۶۰ دقیقه‌ای (میلی‌مترمربع بر ساعت)
KE / d ، KE / d^* ، KE / \sqrt{d}	مجموع انرژی جنبشی بارش با شدت‌هایی (میلی‌متر بر ساعت) بیش‌تر از محدوده‌های ذکر شده شاخص مقدار کل بارش (میلی‌متر) و جذر حاصل ضرب مقدار در زمان کل بارش (t) بر حسب دقیقه
$P \times I_{\gamma..}$ ، $P \times I_{\gamma..^*}$ ، $P \times \sqrt{I_{\gamma..}}$ ، $\sqrt{P} \times I_{\gamma..}$ ، $\sqrt{P} \times I_{\gamma..^*}$	شاخص‌های ترکیبی از مقدار کل بارش (میلی‌متر) و قطر میانه قطرات بارش (میلی‌متر)
$KE > 1, 2/5, 5, 10, 25$	شاخص حاصل ضرب $(P.I)$ (مجموع حاصل ضرب مقادیر جزئی بارش در شدت‌های مربوطه بر حسب میلی‌متر بر ساعت) در حداکثر شدت بارش در پایه‌های زمانی ۱۰، ۲۰ و ۳۰ دقیقه
P ، $\sqrt{P.t}$	شاخص‌های ترکیبی از مقدار (میلی‌متر)، شدت (میلی‌متر بر ساعت) و قطر میانه قطرات بارش (میلی‌متر)
$d \times P$ ، $d^* \times P$	
R_m	
$\sum(P.I)$ ، $(\sum(P.I)).d$ ، $d \times I$	

شاخص‌های سهل‌الوصول شامل میانگین بارش سالانه، انحراف معیار بارش سالانه، حداکثر بارش ماهانه، انحراف معیار حداکثر بارش ماهانه، فورنیه (مونکا و همکاران، ۲۰۰۸)، فورنیه اصلاح شده (یوکسل و همکاران، ۲۰۰۸) و شاخص سیسازی (گراسو و همکاران، ۲۰۰۷)، می‌باشدند که رابطه‌های ۴ تا ۶، به ترتیب بیانگر سه شاخص آخر هستند.

$$F = \frac{p^*}{P} \quad (4)$$

که در آن، F : شاخص فورنیه، p : متوسط مقدار بارش در مرطوب‌ترین ماه سال (میلی‌متر) و P : متوسط مقدار بارش سالانه (میلی‌متر) می‌باشد.

$$MF = \frac{\sum_{i=1}^{12} p_i^*}{P} \quad (5)$$

که در آن، $M.F$: شاخص فورنیه اصلاح شده، p_i : متوسط بارندگی ماه i (میلی‌متر) و P : متوسط بارندگی سالانه در طول دوره آماری (میلی‌متر) می‌باشد.

$$C_i = P \times \sigma_m \quad (6)$$

که در آن، C_i : شاخص سیسازی، P : متوسط مقدار بارش سالانه (میلی‌متر) و σ_m : متوسط انحراف معیار بارش‌های ماهانه (میلی‌متر) می‌باشد.

در ارتباط با ایستگاه‌های باران‌سنگی، اطلاعات مربوط به مقادیر بارش‌های روزانه از ۷۰ ایستگاه در استان سمنان در اختیار بود، ولی ۴۰ ایستگاه به علت داشتن طول دوره آماری پایین (کمتر از ۱۰ سال) حذف شد. در نهایت، ۳۰ ایستگاه باران‌سنگی دارای آمار بلندمدت در استان، برای محاسبه شاخص‌های سهل‌الوصول انتخاب شد. قبل از محاسبه این شاخص‌ها، با توجه به طول دوره آماری ایستگاه‌ها، دوره آماری ۲۵ سال (۱۹۸۵-۲۰۰۵) به عنوان پایه زمانی مشترک درنظر گرفته شد. کیفیت آمار هر یک از ایستگاه‌های انتخابی از طریق بررسی مقادیر خیلی زیاد و خیلی کم آمار بارندگی روزانه و مقایسه آنها با بعضی از ایستگاه‌های مجاور انجام و در صورت مشاهده مقادیر خیلی متفاوت نسبت به تعديل و یا حذف آنها اقدام شد. بررسی همگنی آمار با استفاده از آزمون جرم مضاعف (آلانسی و

همکاران، ۲۰۰۹)، انجام گرفت. در روش نام بردۀ، طی دوره آماری مشترک، بارندگی سالانه تجمعی ایستگاه مورد مطالعه با بارندگی سالانه از ۵ ایستگاه سینوپتیک مجاور در مقابل هم ترسیم شد. در صورت انحراف قابل توجه نقاط به دست آمده از خط مستقیم به مدت بیش از ۵ سال، آمار ایستگاه مربوطه همگن شد. پس از بررسی صحت و همگنی آمار ایستگاه‌های باران‌سنگی، نواقص آماری آن‌ها با استفاده از روش معکوس وزنی فاصله انجام شد. در آخر، نسبت به محاسبه شاخص‌های سهل‌الوصول و سپس برآورد شاخص انتخابی (مبتنی بر شدت بارندگی) اقدام شد.

نتایج و بحث

میانگین مقدار تلفات خاک از کرت‌های آزمایشی پس از هر واقعه منفرد بارش در جدول ۲ نشان داده شده است. همه شاخص‌های ارایه شده در جدول ۲، محاسبه شده و ضرایب همبستگی بین آن‌ها و مقادیر تلفات خاک متناظر و نیز معنی‌داری آن‌ها از نظر آماری، بررسی شد (جدول ۳).

جدول ۲- میانگین مقدار تلفات خاک (گرم بر لیتر) پس از هر واقعه منفرد بارش در ایستگاه جاشلوبار.

میانگین مقدار تلفات خاک	تاریخ
۷/۱۳	۱۳۸۷/۰۱/۲۵
۱/۲۸	۱۳۸۷/۰۲/۳۱
۱۵/۸۶	۱۳۸۷/۰۸/۱۳
۴/۶۱	۱۳۸۸/۰۲/۱۶
۴/۴۹	۱۳۸۸/۰۳/۱۸
۶۲/۱۶	۱۳۸۸/۰۳/۲۹
۱۵/۰۰	۱۳۸۸/۰۶/۰۸
۷/۷۳	۱۳۸۸/۰۶/۲۶
۶۰/۰۶	۱۳۸۸/۰۸/۱۲
۵/۰۵	۱۳۸۹/۰۱/۲۰
۰/۹۹	۱۳۸۹/۰۲/۰۴

جدول ۳- ضرایب همبستگی میان تلفات خاک و شاخص‌های مبتنی بر شدت بارندگی در ایستگاه جاشلوبار.

مقدار	شاخص	مقدار	شاخص	مقدار	شاخص
۰/۵۶۷	$KE > 2/5$	۰/۴۴۹	$EI_1.$	-	$I_{\max ۵}$
۰/۳۹۴	$KE > 5$	۰/۵۶۸	$EI_{1.5}$	۰/۳۹۵	$I_{\max ۱.5}$
۰/۵۲۰	$KE > 25$	۰/۶۳۰*	$EI_{2.5}$	۰/۴۸۸	$I_{\max ۱۵}$
۰/۳۶۷	$KE > 10$	۰/۶۳۱*	$EI_{7.0}$	۰/۶۲۱*	$I_{\max ۲۰}$
۰/۵۷۴	P	۰/۵۷۴	$EI_{12.0}$	۰/۶۴۲**	$I_{\max ۷.0}$
۰/۳۶۳	$\sqrt{P \times t}$	۰/۶۲۴*	$P_{\tau.}$	۰/۵۵۲	$I_{\max ۱۲.0}$
۰/۶۰۵*	$\sum(P \times I)$	۰/۶۰۹*	$P_{\tau.}$	۰/۶۱۴*	$\sum_{i=1}^n KE_i$
۰/۵۹۳	$d \times P$	۰/۵۸۱	$KE \times d^{-\gamma}$	۰/۶۱۰*	KE_1
۰/۵۸۹	$(d)^{\gamma} \times P$	۰/۶۱۰*	$KE \times d^{-\gamma}$	۰/۶۱۱*	KE_{γ}
۰/۵۴۰	$d \times I$	-	$PI_{v/5}$	۰/۶۱۲*	KE_{γ}
۰/۵۹۴	$(\sum(P \times I)) \times d$	۰/۶۳۴*	$PI_{\tau.}^{\gamma}$	۰/۶۱۲*	KE_i
۰/۶۰۷*	$R_{\tau.}$	۰/۶۳۷*	$PI_{\tau.}^{\gamma}$	۰/۶۱۲*	KE_0
۰/۶۱۶*	$R_{\tau.}$	۰/۶۳۶*	$P \sqrt{I_{\tau.}}$	۰/۶۱۱*	KE_{γ}
۰/۴۸۶	$R_{1.}$	۰/۶۴۳**	$\sqrt{P} I_{\tau.}$	۰/۶۲۴*	KE_v
۰/۳۹۵	$P_{1.}$	۰/۶۳۷*	$\sqrt{P} I_{\tau.}^{\gamma}$	۰/۵۹۲	KE_{λ}
۰/۶۰۲*	$KE \times d$	۰/۶۳۷*	$PI_{\tau.}$	۰/۶۱۵*	KE_3
۰/۵۹۵	$KE \times d^{\gamma}$	۰/۶۳۱*	$P \sqrt{I_{\tau.}}$	۰/۶۲۵*	$KE_{1.0}$
۰/۶۰۷*	$KE \times \sqrt{d}$	۰/۶۵۰**	$\sqrt{P} I_{\tau.}$	۰/۶۰۱*	KE_{11}
۰/۶۳۴*	$\frac{KE}{\sqrt{d}}$	۰/۶۵۱**	$\sqrt{P} I_{\tau.}^{\gamma}$	۰/۶۱۶*	KE_{12}
۰/۵۳۸	$I^{1/5}$	۰/۶۴۰**	$PI_{\tau.}^{\gamma}$	۰/۶۲۶*	KE_{13}
۰/۵۲۴	I^{γ}	۰/۶۱۲*	$KE > 1$	-	EI_6

* معنی دار در سطح ۱ درصد و ** معنی دار در سطح ۵ درصد.

بررسی‌ها نشان داد که شاخص $\sqrt{P} \times I_{\tau.}^{\gamma}$ با ضریب همبستگی ۰/۶۵۱ و معنی‌داری در سطح ۱ درصد، از بالاترین همبستگی با مقدار تلفات خاک در میان شاخص‌های مورد بررسی برخوردار بود. بررسی ضرایب همبستگی شاخص‌های حداکثر شدت بارش در پایه‌های زمانی مختلف نیز نشان داد

که I_{v} با ضریب همبستگی 0.642 و معنی‌داری در سطح 1 درصد، بیشترین همبستگی را با تلفات خاک دارد. در منطقه اوکیناوا در ژاپن، یوشی‌هیرو (۲۰۰۳)، به ارزیابی رابطه بین مقادیر ماهانه تلفات خاک و فاکتورهای مختلف بارندگی پرداخت. او فهمید که فاکتورهایی مانند $PI_{\text{v}}, I_{\text{v}}$ در مقایسه با $I_{\text{v}}, I_{\text{v}}$ و I_{v} همبستگی بهتری را با تلفات خاک نشان می‌دهند. در جنوب شرقی یونان در چین، زیشنگ و همکاران (۲۰۱۰)، ضریب همبستگی بین میزان تلفات خاک از اراضی شیبدار را با برخی پارامترهای بارندگی مانند حداکثر شدت بارش در پایه‌های زمانی مختلف، بررسی نمودند. در این بررسی، میزان تلفات خاک بالاترین همبستگی را با I_{v} نشان داد.

در مجموع، شاخص‌هایی که ترکیبی از مقدار بارش و حداکثر شدت 60 دقیقه‌ای بارش بودند، در مقایسه با شاخص‌های ترکیبی از انرژی جنبشی و حداکثر شدت 60 دقیقه‌ای بارش، همبستگی بهتری را با تلفات خاک نشان دادند. مطابق نظر ویشمایر و اسمیت، چون انرژی جنبشی رگبار بهازای هر واحد از بارندگی به مقدار زیادی با شدت بارندگی تغییر نمی‌کند، بنابراین انرژی جنبشی کل رگبار تقریباً به طور مستقیم متناسب با مقدار بارندگی است (حسین و همکاران، ۱۹۹۴). در پژوهشی که به بررسی رابطه‌های رگرسیونی بین پارامترهای بارندگی و فرسایندگی باران (شاخص EI_{v}) در استان خوزستان پرداخته بود، نتایج نشان‌دهنده همبستگی بالای فرسایندگی با مقدار و حداکثر شدت 30 دقیقه‌ای باران بود (مرادی و همکاران، ۲۰۰۶). شاخص‌های EI_{v} و EI_{v} نیز در مقایسه با معادله‌های منفرد انرژی جنبشی، همبستگی بالاتری را نشان دادند که این مسأله نشان‌دهنده کارایی بهتر این شاخص‌ها در مقایسه با معادله‌های منفرد انرژی جنبشی است. همتی (۲۰۰۷)، نیز با بررسی رابطه‌های رگرسیونی بین شاخص‌های مختلف فرسایندگی باران و مقادیر تلفات خاک متناظر در استان کرمانشاه، شاخص EI_{v} را به عنوان مناسب‌ترین شاخص معرفی نمود.

شاخص $KE > 1$ نیز در مقایسه با دیگر شاخص‌های این گروه ($KE > 2/5$ و $KE > 5$) همبستگی بالاتری را با میزان تلفات خاک نشان داد. بنابراین، چنین می‌توان نتیجه گرفت که شدت‌های مساوی و یا بیش‌تر از 1 میلی‌متر در ساعت، بیشترین تأثیر را در تلفات خاک این منطقه دارند. بیان این مسأله، به معنی نفی تأثیر شدت‌های بیش‌تر از $2/5$ میلی‌متر در ساعت و یا بیش‌تر از 10 میلی‌متر در ساعت بر میزان تلفات نیست. مقادیر آستانه شدت براساس خصوصیات بارش، به تنها بی و یا رابطه‌های بین بارش و تلفات خاک باید مورد بررسی قرار گیرد (زادی و همکاران، ۲۰۰۲). یکی از مهم‌ترین عوامل تأثیرگذار بر میزان تلفات خاک، پوشش سطحی است. این مسأله بهخصوص در مناطق

خشک و نیمه‌خشک که پوشش گیاهی کم داشته و حساس به فرسایش می‌باشد، دارای اهمیت است. بنابراین، وجود پوشش غنی گیاهی در سطح خاک، حفاظت سطحی را بالا برد و باعث افزایش این حد آستانه برای شدت و کاهش میزان رواناب و رسوب به دست آمده از بارش می‌شود (مارکوس و همکاران، ۲۰۰۷).

بررسی رابطه‌های بین شاخص‌های سهل‌الوصول و انتخابی در ایستگاه‌های دارای باران‌نگار، در جدول ۴ نشان داده شده است.

جدول ۴- شب خط، عرض از مبدأ و ضرایب همبستگی در روابط بین شاخص‌های سهل‌الوصول و شاخص انتخابی در ایستگاه‌های دارای باران‌نگار.

شاخص سهل‌الوصول	نماد	شب خط	عرض از مبدأ	ضریب همبستگی (r)
میانگین بارش سالانه (میلی‌متر)	P_{yr}	۸/۳۴	۷۳۶/۶۴	۰/۸۳
انحراف معیار بارش سالانه (میلی‌متر)	$\sigma_{P_{yr}}$	۱۷/۱۰	۱۰۳۹/۳	۰/۸۲
حداکثر بارش ماهانه (میلی‌متر)	$P_{m,max}$	۳۹/۶۵	۷۴۴/۵۴	۰/۸۱
انحراف معیار حداکثر بارش ماهانه (میلی‌متر)	$\sigma_{P_{m,max}}$	۸۵/۳۹	۵۸۱/۷۷	۰/۶۸
فورنیه (میلی‌متر)	F	۱۵۲/۷۸	۹۲۳/۹۵	۰/۶۸
فورنیه اصلاح شده (میلی‌متر)	M.F	۶۶/۸۷	۶۵۹/۰۵	۰/۷۵
سیپاسی (میلی‌متر)	C_i	۰/۴۶	۱۳۹۸/۷	۰/۷۰

همه رابطه‌های نشان داده در جدول ۴، از همبستگی خوبی برخوردار بوده و در سطح ۱ درصد معنی‌دار می‌باشند. ولی با توجه به مقادیر ضرایب همبستگی، رابطه مربوط به میانگین بارش سالانه، از ضریب همبستگی بالاتری برخوردار بود (رابطه ۷).

$$R = ۸/۳۴ P_{yr} + ۷۳۶/۶۴ \quad (r = ۰/۸۳) \quad (7)$$

که در آن، R : $\sqrt{P} \times I_{\text{yr}}$ سالانه ($\text{mm}^2 \cdot \text{h}^{-2}$) و P_{yr} : میانگین بارش سالانه بر حسب میلی‌متر می‌باشد. رابطه بالا به علت داشتن بالاترین ضریب همبستگی، برای محاسبه شاخص انتخابی در ایستگاه‌های باران‌سنگی معمولی مبنای قرار گرفت. شریفان (۱۳۸۶)، در بررسی رابطه‌های بین فاکتورهای مختلف بارندگی با شاخص EI_{yr} در ایستگاه سینوپتیک گرگان، رابطه

$$R_{yr} = ۱/۲۲ \times ۱0^{-۳} \times \frac{P_{yr}}{T^{1/22}} \quad (7)$$

را با بالاترین ضریب همبستگی، به عنوان مناسب‌ترین رابطه معرفی کرد. در رابطه بالا، R_{yr} : شاخص فرسایندگی سالیانه، P_{yr} : میانگین بارش سالانه و T : دوره بازگشت موردنظر می‌باشد. همچنین، قربانپور و همکاران (۲۰۰۵)، برای ایستگاه باران‌سنگی بابلسر، رابطه بین شاخص EI_{yr} و میانگین بارش سالانه (P_{yr}) را به صورت $R_{yr} = 0.0002P_{yr}^{0.731}$ بدست آوردند. اختلاف بین رابطه‌های بالا با رابطه به دست آمده در این بررسی علاوه بر این‌که به تفاوت شاخص‌های فرسایندگی موردن بررسی در این مناطق مربوط می‌شود بلکه به متفاوت بودن نوع بارش‌های مناطق و مقادیر میانگین بارش‌های سالانه نیز نسبت داده می‌شود.

آماره‌های توصیفی مربوط به شاخص انتخابی، میانگین بارش سالانه و ارتفاع ایستگاه‌های باران‌سنگی در جدول ۵ ارایه شده است.

جدول ۵- آماره‌های توصیفی شاخص انتخابی، بارندگی و ارتفاع در ایستگاه‌های باران‌سنگی.

آماره	شاخص EI_{yr} ($\sqrt{mm \cdot mm^{-2} \cdot h^{-2}}$)	بارندگی (میلی‌متر)	ارتفاع (متر)
میانگین	۲۰۷۷/۶۲	۱۶۰/۷۹	۱۲۹۰/۶۷
میانه	۱۹۳۱/۸۵	۱۴۳/۳۱	۱۱۷۰/۰۰
واریانس	۱۴۹۳۲۶/۰۹	۲۰۹۰/۶۹	۱۳۳۳۸۹/۷۶
انحراف معیار	۳۸۶۷۴۳	۴۵/۷۲	۳۶۵/۲۳
ضریب تغییرات (درصد)	۱۸/۶۰	۲۸/۴۴	۲۸/۳۰
حداقل	۱۷۱۰/۱۷	۱۱۶/۷۳	۸۷۷/۰۰
حداکثر	۳۱۷۸/۵۱	۲۹۲/۷۹	۲۱۰۰/۰۰
چولگی	۱/۱۳	۱/۱۵	۰/۹۹
کشیدگی	۱/۵۵	۱/۸۰	-۰/۴۹

مقادیر چولگی شاخص انتخابی و بارش سالانه بیانگر این است که این دو عامل از توزیع نرمال پیروی نمی‌کنند. ضرایب چولگی و کشیدگی برای شاخص انتخابی به ترتیب برابر $1/13$ و $1/55$ محاسبه شد. این در حالی است که با توجه به ضرایب چولگی و کشیدگی، داده‌های ارتفاع از توزیع نرمال پیروی می‌کند. کمترین و بیشترین مقادیر شاخص یاد شده، در میان ایستگاه‌های باران‌سنگی

مورد بررسی، به ترتیب برابر ۳۱۷۸/۵۱ و ۱۷۱۰/۱۷ ($\sqrt{mm \cdot mm^3 \cdot h^{-3}}$) و میانگین شاخص انتخابی، برابر ۲۰۷۷/۶۲ بر حسب $\sqrt{mm \cdot mm^3 \cdot h^{-3}}$ ، به دست آمد.

براساس پنهانه‌بندی اقلیمی، ۴ ناحیه اقلیمی در استان سمنان وجود دارد که عبارتند از: ۱) اقلیم گرم و خشک (ناحیه جنوبی)، ۲) اقلیم خشک و نیمه‌خشک (ناحیه مرکزی)، ۳) اقلیم سرد و مرطوب (ناحیه کوهستانی) و ۴) اقلیم خزری (ناحیه به نسبت کوچکی از استان واقع در البرز شمالی) (سایت اداره کل هواشناسی استان سمنان، ۲۰۱۱). با توجه به مقادیر شاخص انتخابی در ایستگاه‌های باران‌سنگی، ایستگاه‌هایی با بیشترین مقدار شاخص انتخابی و البته بیشترین مقدار بارش سالانه، در ناحیه کوهستانی با اقلیم سرد و مرطوب واقع شده‌اند. در حالی که ایستگاه‌هایی با کمترین مقدار شاخص انتخابی و میانگین بارش سالانه در ناحیه مرکزی با اقلیم خشک و نیمه‌خشک واقع هستند.

نتیجه‌گیری کلی

بررسی همه شاخص‌ها نشان‌دهنده اهمیت بیشتر حداکثر شدت ۶۰ دقیقه‌ای بارش در فرسایندگی باران‌های منطقه می‌باشد. به طور کلی، تمام شاخص‌هایی که به صورت ترکیبات مختلفی از حداکثر شدت ۶۰ دقیقه‌ای با مقدار بارش بودند، بالاترین ضرایب همبستگی با میزان تلفات خاک را به خود اختصاص دادند. شاخص EI_6 نیز از نظر میزان همبستگی با تلفات خاک، مقادیر بالایی را در میان شاخص‌های مورد بررسی از خود نشان داد. اگرچه ضرایب همبستگی $EI_{6,1}$ با تلفات خاک، نسبت به ضریب همبستگی شاخص انتخابی، از نظر آماری تفاوت معنی‌داری در سطح ۵ درصد داشت ولی این تفاوت فاصله نبود. با تمام این اوصاف، با توجه به این که شاخص $EI_{6,1} \times \sqrt{P}$ بیشترین همبستگی را با میزان تلفات خاک نشان داد، بنابراین با توجه به شرایط موجود و مورد مطالعه می‌تواند به عنوان یک شاخص فرسایندگی مناسب در منطقه مورد مطالعه استفاده شود. بدیهی است که تعیین یک شاخص مناسب از توان فرسایندگی باران ضروری است که به کمک آن می‌توان در مورد فرسایندگی ناشی از باران شناخت صحیح‌تری پیدا نمود. همچنین، پیش‌بینی میزان تلفات خاک با دقت و صحت بیشتری صورت گرفته که این امر نیز به تصمیم‌گیری‌های درست در زمینه اجرای عملیات حفاظت خاک در مناطقی که با خطر بالای فرسایش مواجه هستند می‌انجامد. از سوی دیگر، با برقراری رابطه‌هایی بین شاخص فرسایندگی مناسب در منطقه و پارامترهای سهل‌الوصول بارش می‌توان شاخص فرسایندگی باران را در مناطق بدون باران‌نگار و آمار بلندمدت محاسبه نمود. این امر موجب صرفه‌جویی در هزینه وقت نیز می‌شود.

با توجه به مسایل مطرح شده، امید است که در آینده، در مدل‌های فرسایش و رسوبی که به نوعی از شاخص فرسایندگی باران بهره‌مند هستند، از شاخص مناسب و معرف هر منطقه استفاده شود. همچنین، از طریق تولید نقشه‌های هم‌فرسا برای بخش‌های مختلف از اراضی، در خصوص شیوه اجرای عملیات حفاظت خاک قضاوت صحیح‌تری نمود. از سویی دیگر، انتظار می‌رود که با جمع‌آوری آمارهای بیش‌تر از چندین ایستگاه مجهز به باران‌نگار ثبات و کرت‌های جمع‌آوری رسوب در سطح استان، نسبت به محاسبه شاخص‌های فرسایندگی باران، انتخاب شاخص مناسب و اصلاح شاخص‌های انتخابی اقدام شود.

سپاسگزاری

در پایان از زحمات و همکاری کارشناسان محترم ایستگاه تحقیقات دام و مرتع جاشارلوبار در استان سمنان و مرکز تحقیقات کم‌آبی و خشک‌سالی در کشاورزی و منابع طبیعی، در تهیه آمار و اطلاعات لازم، سپاسگزاری می‌نماییم.

منابع

- 1.Abu Hammad, A.H., Børresen, T., and Haugen, L.E. 2005. Effects of rain characteristics and terracing on runoff and erosion under the Mediterranean. Soil and Till. Res. 87: 39-47.
- 2.Alansi, A.W., Amin, M.S.M., Abdul Halim, G., Shafi, H.Z.M., Thamer, A.M., Waleed, A.R.M., Aimrun, W., and Ezrin, M.H. 2009. The effect of development and land use change on rainfall runoff and runoff-sediment relationships under humid tropical condition: Case study of Bernam Watershed Malaysia. Euro. J. Sci. Res. 31: 88-105.
- 3.Alipour, Z., Mahdian, M.H., Pazira, E., Hakimkhani, Sh., and Saeedi, M. 2010. 11th Iranian Soil Sciences Congress, Gorgan University, Gorgan, Pp: 1776-1777. (In Persian)
- 4.Alizadeh, A. 2009. Principles of applied hydrology. Imam Reza University Press, 870p. (In Persian)
- 5.Chmelova, R., and Sarapatka, B. 2002. Soil erosion by water: Contemporary research methods and their use. Geographica. 37: 23-30.
- 6.Diodato, N. 2005. Predicting RUSLE monthly Erosivity index from readily available rainfall data in Mediterranean area. The Environmentalist, 25: 63-70.
- 7.Ghorbanpour, D., Mirnia, M.Kh., Ahmadian, S.H., and Dehghani, M. 2005. Evaluation of rainfall erosivity index using rainfall parameters in Babolsar region. 3rd Conference of Erosion and Sediment, Soil Conservation and Watershed Management Researches Center, Tehran, Pp: 733-736. (In Persian)

- 8.Grauso, S., Fattoruso, G., Crocetti, C., and Montanari, A. 2007. A spatially distributed analysis of erosion susceptibility and sediment yield in a river basin by mean of geomorphic parameters and regression relationships. *Hydrol. Earth Sys. Sci.* 4: 627-654.
- 9.Hakimkhani, Sh., Mahdian, M.H., and Arab Khedri, M. 2008. Preparing the rainfall erosivity map for Namak Lake Basin. *Natural Resources of Iran*, 3: 713-736. (In Persian)
- 10.Hemmati, M. 2007. Investigating the appropriate rainfall erosivity index in Zanjan, Markazi and Kermanshah. PhD Thesis. Azad University of Sciences and Researches, Tehran, 150p. (In Persian)
- 11.Hussein, M.H., Award, M.N., and Abdul Jabbar, A.S. 1994. Predicting rainfall-runoff erosivity for single storms in northern Iraq. *Hydrol. Sci.* 39: 535-547.
- 12.Jayawardena, A.W., and Rezaur, R.B. 2000. Drop size distribution and kinetic energy load of rainstorms in Hong Kong. *Hydrol. Proc.* 4: 1069-1082.
- 13.Lal, R. 1976. Soil erosion on alfisols in western Nigeria, III, effects of rainfall characteristics. *Geoderma*. 16: 389- 401.
- 14.Marques, M.J., Bienes, R., Jimenes, L., and Rodriguez, R.R. 2007. Effect of vegetal cover on runoff and soil erosion under light intensity events. Rainfall simulation over USLE plots. *Sci. Total Environ.* 378: 1-2. 161-165.
- 15.Martinez, M.A., Vicente, M.L., Serrano, S.M.V., and Begueria, S. 2009. Mapping rainfall erosivity at a regional scale: a comparison of interpolation methods in the Ebro Basin (NE Spain). *Hydrol and Earth Sys. Sci. Disc.* 6: 417-453.
- 16.Moradi, H., Behzadfar, M., and Sadeghi, H.R. 2006. Studying the relationships between rainfall factors and rainfall erosivity in Khoozestan. *J. Agri. Sci.* 4: 29. 69-83. (In Persian)
- 17.Munka, G., Cruz, G., and Caffera, R.M. 2008. Long-term variation in rainfall erosivity in Uruguay: A preliminary Fournier approach. *Geojournal*. 70: 257-262.
- 18.Nanko, K., Hotta, N., and Suzuki, M. 2004. Assessing raindrop impact energy at the forest floor in a nature Japanese cypress plantation using continuous raindrop-sizing instruments. *J. For. Res.* 9: 157-164.
- 19.Nyssen, J., Vandenreyken, H., Poessen, J., Deckers, J., Haile, M., Salles, C., and Govers, G. 2005. Rainfall erosivity and variability in the Northern Ethiopian Highlands. *J. Hydrol.* 311: 172-187.
- 20.Onchev, N.G. 1994. Universal index for calculating rainfall erosivity. P 424-431, In: El-Swaify, S.A., Moldenhauer, W.C., and Lo, A. (eds.), *Soil erosion and conservation*, Soil Society of America, Ankeny.
- 21.Petkovsek, G., and Mikos, M. 2004. Estimating the R factor from daily rainfall data in the sub-Mediterranean Climate of southwest Slovenia. *J. Hydrol. Sci.* 49: 5. 869-877.
- 22.Salako, F.K. 2007. Rainfall variability and kinetic energy in southern Nigeria. *Clim. Change*. 86: 151-164.

- 23.Salles, C., Poesen, J., and Torres, D.S. 2002. Kinetic energy of rain and its functional relationship with intensity. *J. Hydrol.* 257: 256-270.
- 24.Shamshad, A., Azhari, M.N., Wan, W.M.A., and Parida, B.P. 2008. Development of an appropriate procedure for estimation of RUSLE EI30 index and preparation of Erosivity maps for Pulau Penang in Peninsular, Malaysia. *Catena*. 72: 3. 423-432.
- 25.Sharifah Mastura, S.A., Al-Thom, S., and Jaafar, O. 2003. Rain splash erosion: A case study in Tekala River Catchment, East Selangor, Malaysia. *Geografia*. 1: 4. 44-59.
- 26.Sharifan, H. 2008. Evaluation of equations erosivity index and parameters of rainfall in Gorgan. *J. Agr. Sci. Nat. Res.* 14: 5. 207-215. (In Persian)
- 27.Silva, A.M. 2004. Rainfall erosivity map for Brazil. *Catena*. 57: 251-259.
- 28.Uson, A., and Ramos, M.C. 2001. An improved rainfall erosivity index obtained from experimental interrill soil losses in soils with a Mediterranean climate. *Catena*. 43: 293-305.
- 29.Van Dijk, A.I.J.M., Bruijnzeel, L.A., and Rosewell, C.J. 2002, Rainfall intensity- kinetic energy relationships: a critical literature appraisal. *J. Hydrol.* 261: 1-23.
- 30.Xie, Y., Liu, B., and Nearing, M.A. 2002. Practical thresholds for separating erosive and non-erosive storm. *Am. Soc. Agr. Engin.* 45: 1843-1847.
- 31.Yoshihiro, N. 2003. Study on soil erosion and surface runoff in Hinoki (*Chamaecyparis obtusa*) plantations in Okayama prefecture. Relationships between monthly soil loss and rainfall factors. *App. For. Sci.* 12: 1. 47-52.
- 32.Yuksel, A., Gundogan, R., and akay, A.E. 2008. Using the remote sensing and GIS technology for erosion risk mapping of Kartalkaya dam watershed in Kahramanmaraş, Turkey. *Sensors*. 8: 4851-4865.
- 33.Zhang, G.H., Nearing, M.A., and Liu, B.Y. 2010. Potential effects of climate change on rainfall Erosivity in the yellow river basin of China. *Am. Soc. Agr. Engin.* 48: 2. 511-517.
- 34.Zisheng, Y., Longfei, Y., and Bosheny, Z. 2010. Soil erosion and its basic characteristics at karst rocky desertified land consolidation area: A case study at Muzhe Village of Xichou County in southeast Yunnan, China. *J. Mount. Sci.* 7: 55-72.
- 35.Semnan Meteorology Organization Website. 2011 (www.semnanmet.ir).



J. of Water and Soil Conservation, Vol. 20(5), 2013
<http://jwsc.gau.ac.ir>

Determining the appropriate rainfall erosivity index by soil erosion plots in Semnan

***E. Mousavi Kiasari¹, D. Niknami², M.H. Mahdian² and E. Pazira³**

¹Ph.D. Graduate, Dept. of Soil Science, Islamic Azad University, Science and Research Branch, Tehran, ²Associate Prof., Research Institute of Water Scarcity and Drought in Agriculture and Natural Resources, Tehran, Iran, ³Professor, Dept. of Soil Science, Islamic Azad University, Science and Research Branch, Tehran

Received: 01/09/2011; Accepted: 10/31/2012

Abstract

The rainfall erosivity factor is one of the important parameters for the correct prediction of soil loss amount by water. However, the used rainfall erosivity indices in any region must be accurate. The aim of this research was studying the regression relations between rainfall erosivity indices and related soil losses from experimental plots after individual rainfall event in order to investigate the appropriate rainfall erosivity index in Semnan province. For this reason, rainfall events were recorded from a recording raingauge at the Jashloobar Researches Station in Semnan province, from 2008 to 2010. Also, soil loss amounts after any rainfall events were collected and determined from 6 plots with standard dimensions in two slopes, 3 and 15 percentage and 3 replications. Then, daily rainfall amounts, maximum intensities in different base times, total kinetic energy and other rainfall parameters for calculation of different indices were calculated and relations between these indices and related sediment amounts were studied. With statistical analysis of mentioned relations, $\sqrt{P} \cdot (I_{60})^2$ index, showed strongest correlation, $r=0.651$ and significant at 0.001 level. Also, long-term average of selected index and seven rainfall amount-based indices at 10 stations with raingauge in Semnan province for periods of 1 to 25 years were calculated. The regression relationships between $\sqrt{P} \cdot (I_{60})^2$ and readily available indices were investigated. Mean annual rainfall, standard deviation of annual rainfall and maximum monthly rainfall, showed good correlations ($r=0.83$, 0.82 and 0.81 , respectively) at 0.001 level.

Keywords: Erosion, Rainfall erosivity, Experimental plot

* Corresponding Author; Email: emk_moussavi@yahoo.com